# 论著

# LAVA增强磁共振检查与高频腔内B超在高位复杂性肛瘘术前检查中的对比研究

# 南京医科大学 (江苏 南京 210029)

王庭红 顾建平 王丽萍

【摘要】目的 探讨LAVA增强磁共振检查 与高频腔内B超对高位复杂性肛瘘的术前 诊断价值。方法 回顾分析经手术证实的 50例高位复杂性肛瘘的MRI图像及B超图 像,以手术结果为标准,比较术前LAVA 增强磁共振检查与高频腔内B超的结果。 结果 以手术结果为标准,高频腔内B超 与LAVA增强磁共振检查的结果相比较, 肛瘘内口定位准确率分别为91.1%和 82.2% (X<sup>2</sup>=1.53, P>0.05), 支管显示率 为62.2%和88.8%(X<sup>2</sup>=8.66, P<0.01), 肛周脓肿显示率为(95%和100%) X<sup>2</sup>=1.07, P>0.05), 其它并发症显示率 (50%和100%)(X2=8.6, P<0.01), 肛瘘 内口及肛周脓肿定位准确率差别无统计 学意义, 支管及其它并发症显示率差别 具有高度统计学意义。 结论 高频腔内 B超适用于单纯性肛瘘的术前诊断,而 LAVA增强磁共振检查更适用于高位复杂 性肛瘘的术前诊断。

【关键词】LAVA增强;磁共振;高频腔内B 超;肛瘘

【中图分类号】R735.3: R445.2 【文献标识码】A

**DOI:** 10.3969/j.issn.1672-5131.2015.03.27

通讯作者: 顾建平

# Comparative Study of LAVA-EnhancedMRI and High Frequency Cavity B Ultrasound in High Complex anal Fistula Preoperative Examination

WANG Ting-hong, GU Jian-ping, WANG Li-ping. Nanjing Medical University, Nanjing Jiangsu, 210029, P.R.China

[Abstract] Objective To investigate the value of LAVA—enhanced magnetic resonance imaging and high frequency cavity B ultrasound of high complex anal fistula preoperative diagnosis. *Methods* a retrospective analysis of 50 cases verified by operation of high complex anal fistula B ultrasound image and MRI image, the operation results as the standard, comparison of LAVA—Enhanced magnetic resonance imaging and high frequency cavity B ultrasound results. *Results* the operation result as the standard, high frequency cavity B ultrasound and LAVA—Enhanced magnetic resonance imaging results compared, accuracy rate of export orientation in the anal fistula were 91.1% and 82.2% (X²=1.53, P>0.05), branch display rate was 62.2% and 88.8% (X²=8.66, P<0.01), perianal abscess display rate (95% and 100%) X²=1.07, P>0.05), other complications display rate (50% and 100%) (X²=8.6, P<0.01). export orientation in the anal fistula and perianal abscess localization accuracy without significant difference. Branch and other complications showed highly significant difference. *Conclusion* high frequency cavity B ultrasound diagnosis for simple anal fistula preoperative diagnosis, whereas LAVA—enhanced MRI is more suitable for high complex anal fistula preoperative.

**[Key words]** LAVA –enhanced; Magnetic Resonance Imaging; High Frequency Cavity B Ultrasound; Anal Fistula

肛瘘是指肛门周围的肉芽肿性管道,由内口、外口及瘘道等组成,目前主要治疗方法仍以手术为主,术后复发率高,如何降低肛瘘术后复发率一直是肛肠学科重点研究的问题之一。一方面它跟外科医师操作技术、临床经验有关,另一方面,跟术前诊断有关如对肛瘘内口位置、瘘管走行、分支及与括约肌的关系作出明确的了解,特别是内口位置、二级分支及隐藏的小脓肿的明确诊断. 这些诊断主要依靠影像学检查方法。常见的影像学检查方法主要有X线和CT窦道造影、MRI、高频腔内B超,现在临床应用最多的是MRI检查及高频腔内B超检查。我院作为全国肛肠中心,在肛瘘的术前检查中,应用最多的为高频腔内B超,且已作用术前常规检查之一,只有不足十分之一的患者术前做MRI检查。本研究的主要目的就是评价LAVA增强磁共振检查与高频腔内B超在高位复杂性肛瘘术前检查中的价值。

#### 1 资料与方法

1.1 一般资料 回顾分析2012年1月~2014年5月,本院经手术确诊的高位复杂性肛瘘患者50例,其中男46例,女4例,年龄最小15岁,最大64岁,平均年龄约42岁,病程约1周到40年,平均病程约42个月,大多数患者为肛周脓肿术后,肛旁间断性流脓,1例患者为骶前囊肿术后,肛旁流脓,1例患者为肛门外伤后,肛旁流脓,1例患者为直肠癌术后,肛旁流脓。病灶均有累及到肛提肌以上,有多个外口或分支。

所有患者术前均行LAVA增强磁共振与高频腔内B超检查。

#### 1.2 检查设备、方法及参数

1.2.1 MRI检查:采用GE公司1.5T(型号HDE),体部相控阵线圈,先行常规平扫(OSag T2fs FSE, OAx T2fs FSE, OAx T1SE, OCor T2fs FSE),再行LAVA增强扫描(OAx LAVA+C, Cor LAVA+C, Sag LAVA+C)。上肢静脉注射对比剂GD-DTPA,剂量15mL,注射速率1mL/s。增强扫描时间:注射对比剂后15s、30s、45s。分别行轴位扫描,60s矢状位扫描,90s冠状位扫描。

1.2.2 高频腔内B超检查: 采用360°三维腔内超声探头 (Pro-Focus 2050; 9~16 MHz; 焦距2.8~6.2cm; BK Medical, Herlev, Denmark), 自探头近端 一远端60mm纵距完成55 s的自动 扫描,形成三维成像,整个扫描 过程无需移动探头。患者取左侧 卧位,屈髋屈膝,探头外套避孕 套,顶端涂适当耦合剂,先行指 诊初步了解病变情况并嘱患者放 松肛门,将探头缓缓插入直肠距 肛缘60mm处,调整探头使有开关 按钮(2050探头把手处有开关按 钮,其对侧为调控移动按钮)的一 侧位于肛门正后方(截石位6点), 最后进行扫描,完成三维立体成 像1。

1.3 比较方法及统计学处理 以手术结果为标准,比较高频腔 内B超和LAVA增强磁共振检查对判 断内口位置、数量,分支、脓肿 数量的准确性,样本之间的配对 分析采用X²检验进行统计学处理。

#### 2 结 果

2.1 内口显示 MRI检查: 37 例发现内口,共37个,每例均发现1个内口,有1例内口位于7点,1例内口位于5点,13例内口显示不清,其余病例内口均位于6点。

B超: 40例发现内口, 共41 个, 其中1例发现2个内口, 分别位于1点和9点, 1例内口位于3点, 1例内口位于10点, 1例内口位于7点, 10例内口显示不清, 其 余病例内口均位于6点。

手术结果: 42例发现内口, 共45个,其中两例发现2个内口, 分别位于1点和9点,6点和5点,1 例内口位于3点,1例内口位于10 点,1例内口位于7点,1例内口位 于9点,1例内口位于5点,8例未 发现内口,其余病例内口均位于6 点。

# 2.2 分支瘘管显示

MRI检查: 40例发现两个及两个以上瘘管分支,其中15例发现两个以上瘘管分支。

B超:28例发现两个及两个以上瘘管分支,其中5例发现两个以上瘘管分支。

手术: 45例发现两个及两个 以上瘘管分支,其中20例发现两 个以上瘘管分支。

#### 2.3 肛周脓肿显示

MRI检查: 20例发现肛周脓肿。

B超: 19例发现肛周脓肿。 手术: 20例发现肛周脓肿。

#### 2.4 其它并发症

MRI检查: 4例尾骨感染, 4例

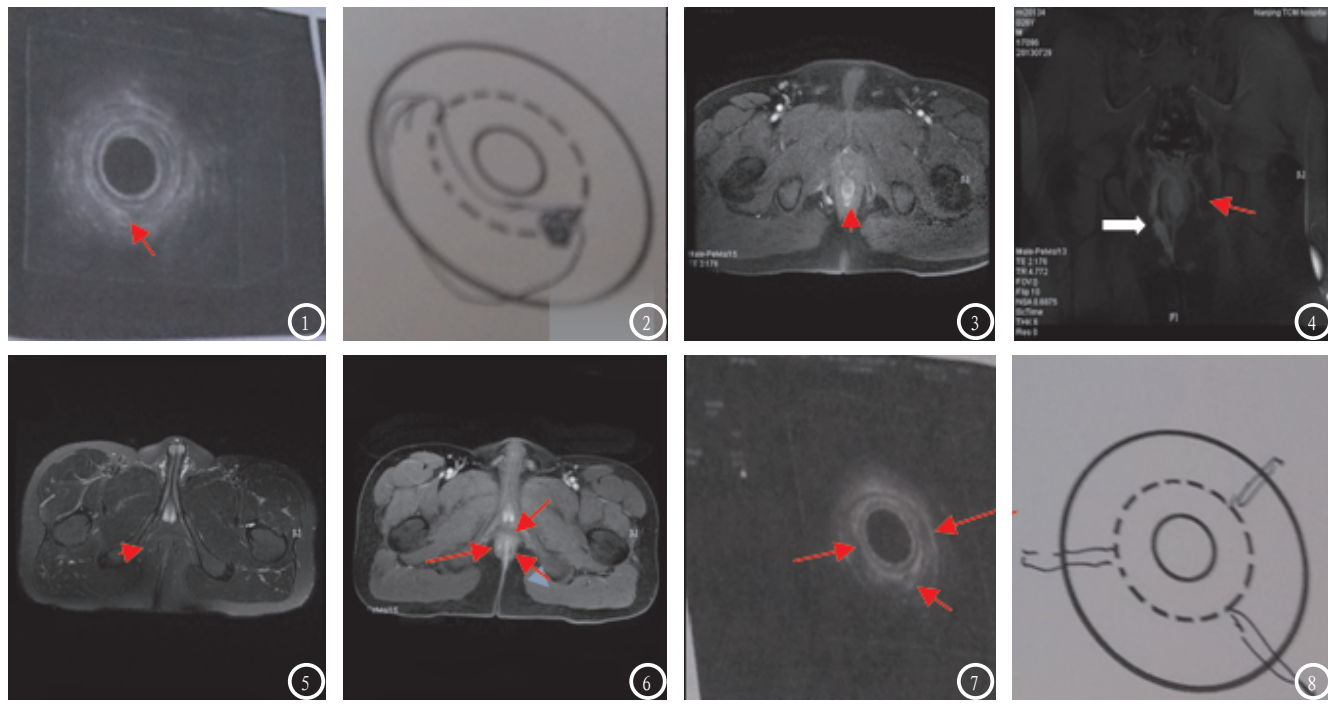


图1 B超 截石位6点可见肛痿内口,粘膜局限性缺损(红箭头所示)。图2 是图1的B超示意图。图3 轴位LAVA增强序列,截石位6点可以肛痿内口,呈点状高信号(红箭头所示)。图4 冠状位LAVA增强序列,主痿管边缘呈高信号,内部液体呈低信号(白箭头所示),小分支痿管呈高信号(红箭头所示)。图5 轴位T2WI压脂序列 截石位9点可见一内口,呈点状高信号(红箭头所示)。图6 轴位LAVA增强序列,截石位2、5、9点可以肛痿内口,呈点状高信号(红箭头所示)。图7 B超截石位2、5、9点可见肛痿内口,粘膜局限性缺损(红箭头所示)。图8 是图7的B超示意图。

会阴部感染。

B超: 2例会阴部感染。

手术: 4例尾骨感染, 4例会 阴部感染。

2.5 高频腔内B超结果和LAVA 增强磁共振检查结果对比,并进 行统计学分析 以手术结果为标 准,高频腔内B超结果和LAVA增 强磁共振检查结果相比较,肛瘘 内口定位准确率分别为91.1%和 82.2%(X²=1.53,P>0.05),支管 显示率为62.2%和88.8%(X²=8.66,P<0.01),肛周脓肿显示率为(95%和100%)X²=1.07,P>0.05, 其它并发症显示率(50%和100%)(X²=8.6,P<0.01)肛瘘内口及肛 周脓肿定位准确率差别无统计学 意义,支管及其它并发症显示率 差别具有高度统计学意义。

# 3 讨 论

3.1 肛瘘的特点及影像学检查方法 肛瘘是肛管或直肠下段同肛门周围皮肤之间或临近组织、器官之间,因病理性原因形成的不正常的通道,是外科病成的不正常的通道,是一种对病人异常痛苦,其治疗具有挑战性的疾病,它大多数由肛周脓肿引起,还可以由炎性肠病、肛门或直肠肿瘤引起,还可以由外伤引起。肛瘘的发生率大约是万分之一一万分之二,男性具有优势,其复发率高,据有关文献报道,简单型肛瘘复发率约35%。

肛瘘目前最主要的治疗方法 仍然依靠手术治疗,手术成功关 键是确定肛瘘与括约肌复合体的 关系,保持肛门括约肌的功能, 以及发现内口、二次瘘管及小脓 肿的位置,未处理的内口、二次 瘘管及小脓肿是复发的根源,因 此高位复杂肛瘘术前诊断十分重

要。只有在充分了解瘘道走行、 分布、主管与支管的关系、内口 位置与数量、小脓肿的位置等情 况下,才能有针对性地选择术 式,做到切口恰当,清创彻底、 引流通畅,减少复发率。术前的 影像检查有助于设计手术方案、 识别那些有可能被遗漏的感染 灶,从而降低术后肛瘘复发率、 减少肛门括约肌损伤。常见的影 像学检查方法主要有X线和CT窦道 造影、MRI检查、高频腔内B超。 X线和CT窦道造影因其操作比较 复杂, 且无法发现小分支、小脓 肿, 无法判断瘘管与周围组织结 构关系等缺点,现在临床应用较 少。由于这些原因, 高频腔内超 声和MRI检查已成为肛瘘成像的主 要方法。

## 3.2 MRI检查特点及表现

3.2.1 MRI检查线圈: 目前肛 瘘MRI检查的磁共振线圈有3种, 腔内线圈、体线圈和相控阵表面 线圈, 腔内线圈提高了感兴趣区 信噪比, 能较好地显示小的脓 肿、瘘管及内口, 但腔内线圈是 一种侵入式 的检查方法, 其插入 会引起患者的不适并干扰肛管及 周围结构的显示,对肛管狭窄或 因局部炎症导致严重痛疼的患者 难以置入,再则其视野有限,成 像范围受到一定的限制, 可使远 处病灶遗漏掉,还可因插入的直 肠线圈可能压迫瘘管或使瘘管及 脓腔内的脓液排空, 影响瘘管的 显示, 体线圈及相控阵表面线圈 临床使用简单方便,但体线圈信 噪比低,而相控阵表面线圈提高 了信噪比和空间分辨率,可得到 更详细、更准确的信息,目前成 为临床肛瘘MRI检查的首选线圈

3.2.2 MRI检查的序列:目前国内肛瘘的MRI检查常用的序列为平扫,增强报道较少<sup>[4]</sup>。大

多数研究者认为增强检查意义不 大,而2013年姜胜东等提出LAVA 增强MRI检查对肛瘘内口、支管 的显示有较高的准确率,同时要 优于MRI平扫。LAVA增强MRI图像 比MRI平扫图像对肛瘘内口的显 示更清晰、对肛瘘的炎症范围显 示更加明确。2013年Hoda Salah Darwish a等也提出LAVA磁共振增 强扫描能提供高分辨率的图像, 优于STIR和T2WI压脂序列,有助 于瘘管的显示, 轴向和冠状面图 像更好的显示了瘘管的走形、分 支[5]。这个序列也能很好的显示 肛瘘的伴随症状如水肿、炎症的 变化, 外科医生能进行深入的术 前评估。

MRI检查肛瘘的病理变化及病 变是否活动是MRI信号形成的基 础。常规MRI扫描序列对于内口 的显示往往难以令人满意, 肛瘘 本质上还是肛门直肠周围间隙化 脓性感染的慢性阶段, 其内口壁 及瘘管壁均由富含毛细血管的肉 芽组织形成, 因此动态增强扫描 可收到满意的效果[7]。瘘管在病 理上是由反应性纤维组织包绕及 近管腔处的炎性肉芽组织构成, 感染的瘘管内充填脓液和肉芽组 织,它在T2WI STIR序列中表现为 高信号,而瘘管外部的低信号区 域则由纤维组织构成。T2WI压脂 序列主要用来评估水肿的区域、 瘘管和脓腔的大小, T1WI平扫和 动态增强用来评估炎症的存在、 程度及治疗反应, 在治疗过程 中,T2WI序列上高信号的减低要 早于强化程度的降低,说明肛瘘 的治疗首先是减少脓液的产生, 再减少瘘管内的炎症。这些变化 与临床是密切相关的,可以用来 指导临床治疗。动态增强MRI也 能反应深层组织的愈合情况,它 通常比表浅组织愈合所花的时间 更长,从而更好地评估残余或不 完全治疗的疾病。DWI序列能增强T2WI压脂序列及T1WI增强的价值,特别用在对造影剂过敏的患者<sup>[6]</sup>。

3.2.3 MRI检查的表现:内口:肛门内括约肌连续性中断及局部水肿<sup>[8]</sup>,大多数为位于或紧贴肛管6呈点状或条状,T1WI与肌肉信号相似,T2WI抑脂或STIR序列呈高信号,LAVA增强内口点状或条状呈高信号,显示更加清晰。

肛瘘瘘管及分支: 活动性瘘 管平扫T1WI呈低信号, T2WI呈高 信号,在STIR显示更清晰<sup>[9]</sup>,在 LAVA增强上显示更好,其管壁呈 高信号, 腔内液体呈低信号。小 分支在T2WI上呈细线样高信号, 与主瘘管想通,且有强化征象。 不活动的瘘管在T1WI呈低信号, 在T2WI不呈高信号, LAVA增强也 不强化[10]。瘘管周围组织如果 有炎症或水肿时在T2WI也呈高信 号。肛瘘再手术的病人,可通过 MRI对疤痕与活动性瘘道进行区 分,瘫痕组织及手术后的纤维化 在T1WI和T2WI抑脂图像上均呈低 信号,LAVA增强后无强化,活动 性瘘道在T2WI抑脂图像上呈高信 号,在LAVA增强上可以强化。

肛周脓肿: T1WI低信号环内 呈近似肌肉信号影, T2WI低信号 环内呈高信号影。

# 3.3 高频腔内B超检查特点及 表现

3.3.1 高频腔内B超检查特点:目前国内外多应用三维肛管直肠腔内超声对肛瘘进行术前评估,该检查可以在三维空间内多角度多切面观察、追踪瘘管走行、分布,明确主管、支管与括约肌的关系,并可以准确定位内口。三维肛管直肠超声通过多个扫描平面可以更加清晰地显示肛门括约肌及周围组织解剖形态学

的信息,帮助手术医师理解三维 超声影像结果,准确判断瘘管的 走行及内口的确切位置.指导制 定正确的手术方案。

3.3.2 高频腔内B超检查表 现: 内口可见粘膜层局部小缺 损、连续性中断或局限膨隆度改 变, 部分肛瘘可直接探查到肛瘘 内口,常常显示为内外括约肌间 隙内一低回声点, 连于内括约 肌,而且内括约肌上常可看到连 续中断的小缺损嘲: 瘘管多显示 为自肛瘘外口发出的至肛管直肠 壁的一根或数根线状、条索状低 回声管道,通向齿状线方向,管 道呈直线状或弯曲状, 暗区内有 流动的弱回声及不规则的强气体 回声, 瘘管壁呈低回声或呈强声 与低回声混合型, 瘘道纵切显像 为低回声条索状管道,横切呈现 圆型囊样区; 脓腔早期伴有脓液 者呈现液性暗区,晚期呈现低回 声与高回声混合存在的不均质回 声,边缘模糊[12]。

# 3.4 国内外对MRI检查及高频 腔内B检查在肛瘘术前检查中价值 的不同观点

2012年Ryan B. O' Malley等提出MRI描述主瘘道(灵敏度,特异性,100%;86%)和脓肿(敏感性,特异性,96%;97%),与直肠腔内超声相比,MRI提供了更广阔的视野和更适合于复杂肛瘘的分支的评价,横向可以延伸到肛门周围的空间,纵向可以扩展到肛提肌以上空间<sup>[13]</sup>。

2012年Siddiqui等报导对于 肛瘘的发现及分型,MRI与EAUS的 敏感性相似,在鉴别瘘管的存在 时MRI特异性高于EAUS,而EAUS在 发现内口方面优于MRI<sup>[14]</sup>。

2012年曹亮,杨柏霖等提出 肛瘘术前MRI检查已成为多数医学 中心评价复杂性肛瘘的金标准, 可以最大限度地获得病情资料, 明确诊断,指导外科手术,尽可能大地减少漏诊率及手术失误率,降低术后的复发率,值得推广[15]。

本组病例采用常规平扫及 LAVA增强序列,高频腔内B检查, 重点对照LAVA增强及高频腔内B超 检查,研究发现LAVA增强在显示 内口及脓肿方面与高频腔内B超相 似,在显示分支瘘管、其它并发 症方面明显优于高频腔内B超。

综上所述,经高频腔内超声检查肛瘘的诊断是简单的,廉价的、对病人的要求不高,同时达到较高的准确性,它完全足够用在简单性肛瘘的术前诊断。与高频腔内超声相比,LAVA增强破野板查提供了一个更广阔的视野和更多的信息,更适合用于评价复杂分枝束,评估肛瘘的不是一个更广流。它对方反应情况[16-17],它应该常规用于高位复杂性肛瘘的减少其复数断,最大限度的减少其复发率[18]。

# 参考文献

- 1. 薛雅红, 丁曙晴, 等. 三维腔内超声对肛瘘手术指导价值的研究[J]. 实用医学杂志, 2013, 29(20): 3360-3362.
- 2. 张玉茹, 李飞. 影像学检查在肛瘘诊 治中的研究进展[J]. 山东医药, 2012, 52 (24): 95-96.
- 3. 祝新,于小利,张碧云.直肠腔内水囊结合相控阵线圈在复杂性肛瘘MRI检查中的应用价值[J].中国CT和MRI杂志,2009,29(6):58-60.
- 4. 姜胜东, 缪锦芬, 张家辉, 等. LAVA 增强 MR I 检查对复杂性肛瘘的诊断价值[J]. 实用医学杂志, 2013, 29(8): 1322-1324.
- 5. Hoda Salah Darwish a, Hossam Abdelhafiz Zaytoun b,\*, Hanaa Ahmed Kamel b, Sadia Raheez Qamar, Magnetic Resonance Imaging Evaluation of Perianal Fistulas The Egyptian Journal of Radiology and Nuclear Medicine, Volume44, Issue4,

- December 2013, Pages 747-754.
- 6. Schmid-Tannwald C, Agrawal G, Dahi F el at .Diffusion-weighted MRI: Role in detecting abdominopelvic internal fistulas and sinus tracts. J Magn Reson Imaging. 2012 Jan; 35(1):125-31. doi: 10.1002/jmri.22804. Epub 2011 Sep 23.
- 史立军. 肛疹的影像学研究进展[J]. 医学理论与实践, 2013, 26(4): 448-449.
- 8. 王新岭,张善宏,等.磁共振成像对 肛疹的诊断[J].实用放射学杂志, 2012,28(10):1569-1572.
- 9. 周静, 储成凤,等. 高分辨率MRI在复杂性肛瘘诊断中的价值研究[J]. 医学影像学杂志, 2010, 20(2): 208-210.
- 10. 杨烁慧, 杨巍, 朱琼, 等. T1wI sPIR增强MRI在肛瘘中的应用价值[J]. 临床放射学杂志, 2010, 29(1): 110-113.
- 11. 黄斌, 熊芳, 等. 三维直肠腔内超声除后端扫式直肠腔内超声诊断高位复杂肛瘘 [J]. 实用医学杂志, 2013, 29 (8): 1327-1329.

- 12. 吴一曼. 肛肠B超诊断与肛瘘手术相 关性的临床研究(学位论文)2012.
- 13. Ryan B. O' Malleyl, Mahmoud M. Al-Hawaryl, Ravi K. Kazal, et al. Rectal Imaging: Part 2, Perianal Fistula Evaluation on Pelvic MRI-What the Radiologist Needs to Know(J). American Journal of Roentgenology. 2012; 199: W43-W53.10.2214/AJR.11.8361.
- 14. Siddiqui, Muhammed R. S. M.R.C.S, Ashrafian, Hutan M.R.C.S, A Diagnostic Accuracy Meta-analysis of Endoanal Ultrasound and MRI for Perianal Fistula Assessment, Diseases of the Colon & Rectum: May 2012-Volume55-1ssue5-p576-585.
- 15. 曹亮, 杨柏霖. 影像学检查在肛瘘诊断中应用的研究进展[J]. 南京中医药大学学报, 2012, 28(2): 198-200.
- 16. Amela Sofic, Serif Beslic, Nedzad Sehovic, et al. MRI in evaluation of perianal fistulae(J), Radiol Oncol. 2010 December; 44(4): 220-227.

- 17. Yildirim N, G?kalp G, ?ztürk E, el at. Ideal combination of MRI sequences for perianal fistula classification and the evaluation of additional findings for readers with varying levels of experience (J) Diagn Interv Radiol. 2012 Jan-Feb; 18(1): 11-9.
- 18. 张旭升, 何锡华, 等. 磁共振成像对 肛瘘及其分型的诊断价值[J]. 中国 CT和MRI杂志, 2013, 6(11): 33-35.
- 19. 祝新,于小利,张碧云,等. 直肠腔内 水囊结合相控阵线圈在复杂性肛瘘 MRI检查中的应用价值[J]. 中国CT 和MRI杂志, 2009, 7(6): 58-60.
- 20. 王文献, 廖建伟, 王珂珂, 等. MSCT直 肠填塞瘘管造影及三维重建技术在 肛瘘诊断中的应用 [J]. 中国CT和 MRI杂志, 2014, (9): 34-36.

(本文编辑: 黎永滨)

【收稿日期】2015-01-21

#### (上接第 29 页)

总之,周围型肺癌平均ADC值 均明显小于感染性肉芽肿,ADC值 定量分析有助于肺部良恶性病变 的定性诊断,因此,扩散加权成 像可作为鉴别肺部良恶性病变的 较好补充手段。

#### 参考文献

- 1. 王珂,吴红霞,罗民新,等. CT诊断中心型肺癌的准确性及MRI补充诊断的意义[J]. 中国CT和MRI杂志. 2013, 11(3),61-63.
- Swensen SJ, Jett JR, Hartman TE, et al. CT Screening for Lung cancer: Five-year Prospective Experience. Radiology, 2005, 235(1): 259-65.
- Swensen SJ, Yamashita K, McCollough CH, et al. Lung nodule enhancement at CT: multicenter study.

- Radiology, 2000, 214(1):81-5.
- Gumustas S, Inan N, Akansel G, et al. Differentiation of malignant and benign lung lesions with diffusion-weighted MR imaging. Radiol Oncol, 2012, 46 (2): 106-13.
- 5. 黄文起. 磁共振成像对周围型肺癌 的诊断价值[J]. 中国CT和MRI杂 志. 2011, 9 (02): 35-37.
- 6. Bammer R. Basic principles of diffusion-weighted imaging. Eur J Radiol, 2003, 45(3):169-84.
- 7. Seki S, Koyama H, Ohno Y, et al. Diffusion-weighted MR imaging vs. multi-detector row CT: Direct comparison of capability for assessment of management needs for anterior mediastinal solitary tumors. Eur J Radiol, 2014, 83(5):835-42.
- 8. Mori T, Nomori H, Ikeda k, et al. Diffusion weighted magnetic resonance imaging for diagnosing malignant pulmonary nodules/masse. Thorac Oneol, 2008, 3(4):358-64.

- 9. 屈春晖. 肺部良恶性病变MR功能成像 DWI 研究. 泸州: 泸州 医学院, 2011, 硕士文论.
- 10. 李伟栋, 李东, 刘海东, 等. 3. 0TMR扩散加权成像对肺实性良恶性病变的鉴别诊断效能及b值优化探讨[J]. 中国肺癌杂志, 2011, 14(11): 853-857.
- 11. 邓启明, 邱维加, 周智鹏, 等. 不同 b值下DWI鉴别肺部良、恶性病 变的价值[J]. 中国医学影像技术, 2012, 28(8): 1537-1540.
- 12. Liu H, Liu Y, Yu T, et al. Usefulness of diffusion-weighted MR imaging in the evaluation of pulmonary lesions. Eur Radiol. 2010; 20(4):807-15.
- 13. Heye T, Ley S, Heussel CP, et al. Detection and size of pulmonary lesions: how accurate is MRI? A prospective comparison of CT and MRI. Acta Radiol, 2012, 53(2):153-60.

(本文编辑: 唐润辉)

【收稿日期】2015-01-20